

Starkniederschlagshöhen und -spenden gemäß KOSTRA-DWD-2010R

Auswertungszeitraum von 1951 - 2010, Januar - Dezember

Rasterfeld: 76043

Zeile: 76

Spalte: 43

Seite: 1/2

| Dauerstufe D | | Wiederkehrzeit T | | | | | | | | | | | | | | | | | |
|--------------|-----|------------------|------------|------|------------|------|------------|------|------------|------|------------|------|------------|------|------------|------|------------|-------|------------|
| | | 1 a | | 2 a | | 3 a | | 5 a | | 10 a | | 20 a | | 30 a | | 50 a | | 100 a | |
| min | Std | mm | l / (s ha) | mm | l / (s ha) | mm | l / (s ha) | mm | l / (s ha) | mm | l / (s ha) | mm | l / (s ha) | mm | l / (s ha) | mm | l / (s ha) | mm | l / (s ha) |
| 5 | | 5,0 | 166,7 | 7,0 | 233,3 | 8,1 | 270,0 | 9,6 | 320,0 | 11,5 | 383,3 | 13,5 | 450,0 | 14,6 | 486,7 | 16,1 | 536,7 | 18,0 | 600,0 |
| 10 | | 8,0 | 133,3 | 10,6 | 176,7 | 12,1 | 201,7 | 14,0 | 233,3 | 16,6 | 276,7 | 19,2 | 320,0 | 20,7 | 345,0 | 22,6 | 376,7 | 25,2 | 420,0 |
| 15 | | 9,9 | 110,0 | 13,0 | 144,4 | 14,8 | 164,4 | 17,0 | 188,9 | 20,1 | 223,3 | 23,2 | 257,8 | 25,0 | 277,8 | 27,2 | 302,2 | 30,3 | 336,7 |
| 20 | | 11,3 | 94,2 | 14,7 | 122,5 | 16,7 | 139,2 | 19,3 | 160,8 | 22,7 | 189,2 | 26,2 | 218,3 | 28,2 | 235,0 | 30,8 | 256,7 | 34,2 | 285,0 |
| 30 | | 13,0 | 72,2 | 17,1 | 95,0 | 19,5 | 108,3 | 22,5 | 125,0 | 26,6 | 147,8 | 30,7 | 170,6 | 33,1 | 183,9 | 36,1 | 200,6 | 40,2 | 223,3 |
| 45 | | 14,6 | 54,1 | 19,4 | 71,9 | 22,2 | 82,2 | 25,8 | 95,6 | 30,6 | 113,3 | 35,4 | 131,1 | 38,3 | 141,9 | 41,8 | 154,8 | 46,7 | 173,0 |
| 60 | | 15,5 | 43,1 | 20,9 | 58,1 | 24,1 | 66,9 | 28,1 | 78,1 | 33,6 | 93,3 | 39,0 | 108,3 | 42,2 | 117,2 | 46,2 | 128,3 | 51,6 | 143,3 |
| 90 | | 17,1 | 31,7 | 22,7 | 42,0 | 26,0 | 48,1 | 30,2 | 55,9 | 35,8 | 66,3 | 41,5 | 76,9 | 44,8 | 83,0 | 48,9 | 90,6 | 54,5 | 100,9 |
| 120 | 2 | 18,3 | 25,4 | 24,1 | 33,5 | 27,5 | 38,2 | 31,8 | 44,2 | 37,5 | 52,1 | 43,3 | 60,1 | 46,7 | 64,9 | 51,0 | 70,8 | 56,8 | 78,9 |
| 180 | 3 | 20,2 | 18,7 | 26,2 | 24,3 | 29,7 | 27,5 | 34,2 | 31,7 | 40,2 | 37,2 | 46,1 | 42,7 | 49,7 | 46,0 | 54,1 | 50,1 | 60,1 | 55,6 |
| 240 | 4 | 21,7 | 15,1 | 27,8 | 19,3 | 31,4 | 21,8 | 36,0 | 25,0 | 42,1 | 29,2 | 48,3 | 33,5 | 51,9 | 36,0 | 56,4 | 39,2 | 62,6 | 43,5 |
| 360 | 6 | 23,9 | 11,1 | 30,3 | 14,0 | 34,0 | 15,7 | 38,8 | 18,0 | 45,1 | 20,9 | 51,5 | 23,8 | 55,2 | 25,6 | 59,9 | 27,7 | 66,3 | 30,7 |
| 540 | 9 | 26,4 | 8,1 | 33,0 | 10,2 | 36,9 | 11,4 | 41,8 | 12,9 | 48,4 | 14,9 | 55,0 | 17,0 | 58,9 | 18,2 | 63,8 | 19,7 | 70,4 | 21,7 |
| 720 | 12 | 28,3 | 6,6 | 35,1 | 8,1 | 39,1 | 9,1 | 44,1 | 10,2 | 50,9 | 11,8 | 57,7 | 13,4 | 61,6 | 14,3 | 66,6 | 15,4 | 73,4 | 17,0 |
| 1080 | 18 | 31,2 | 4,8 | 38,3 | 5,9 | 42,4 | 6,5 | 47,6 | 7,3 | 54,6 | 8,4 | 61,7 | 9,5 | 65,8 | 10,2 | 71,0 | 11,0 | 78,0 | 12,0 |
| 1440 | 24 | 33,5 | 3,9 | 40,7 | 4,7 | 45,0 | 5,2 | 50,3 | 5,8 | 57,5 | 6,7 | 64,7 | 7,5 | 69,0 | 8,0 | 74,3 | 8,6 | 81,5 | 9,4 |
| 2880 | 48 | 40,5 | 2,3 | 48,3 | 2,8 | 52,9 | 3,1 | 58,6 | 3,4 | 66,4 | 3,8 | 74,2 | 4,3 | 78,8 | 4,6 | 84,6 | 4,9 | 92,4 | 5,3 |
| 4320 | 72 | 45,2 | 1,7 | 53,4 | 2,1 | 58,1 | 2,2 | 64,1 | 2,5 | 72,3 | 2,8 | 80,5 | 3,1 | 85,2 | 3,3 | 91,2 | 3,5 | 99,4 | 3,8 |

Angaben in mm: Bemessungsniederschlagswerte h(n)

Angaben in l / (s ha): Regenspende R(n) mit $R(n) = h(n) \times 1,666667 / D[\text{min}]$

Toleranzbereiche:

+/- 10 % für $1 \text{ a} \leq T \leq 5 \text{ a}$

+/- 15 % für $5 \text{ a} < T \leq 50 \text{ a}$

+/- 20 % für $50 \text{ a} < T \leq 100 \text{ a}$

Datenbasis: KOSTRA-DWD-2010R des Deutschen Wetterdienstes. Die Regenspende wurde auf Basis des Bemessungsniederschlags zur jeweiligen Andauer berechnet.

Für die Richtigkeit und Aktualität der Angaben wird keine Gewähr übernommen. Erstellt 07/2022.

Starkniederschlagshöhen und -spenden gemäß KOSTRA-DWD-2010R

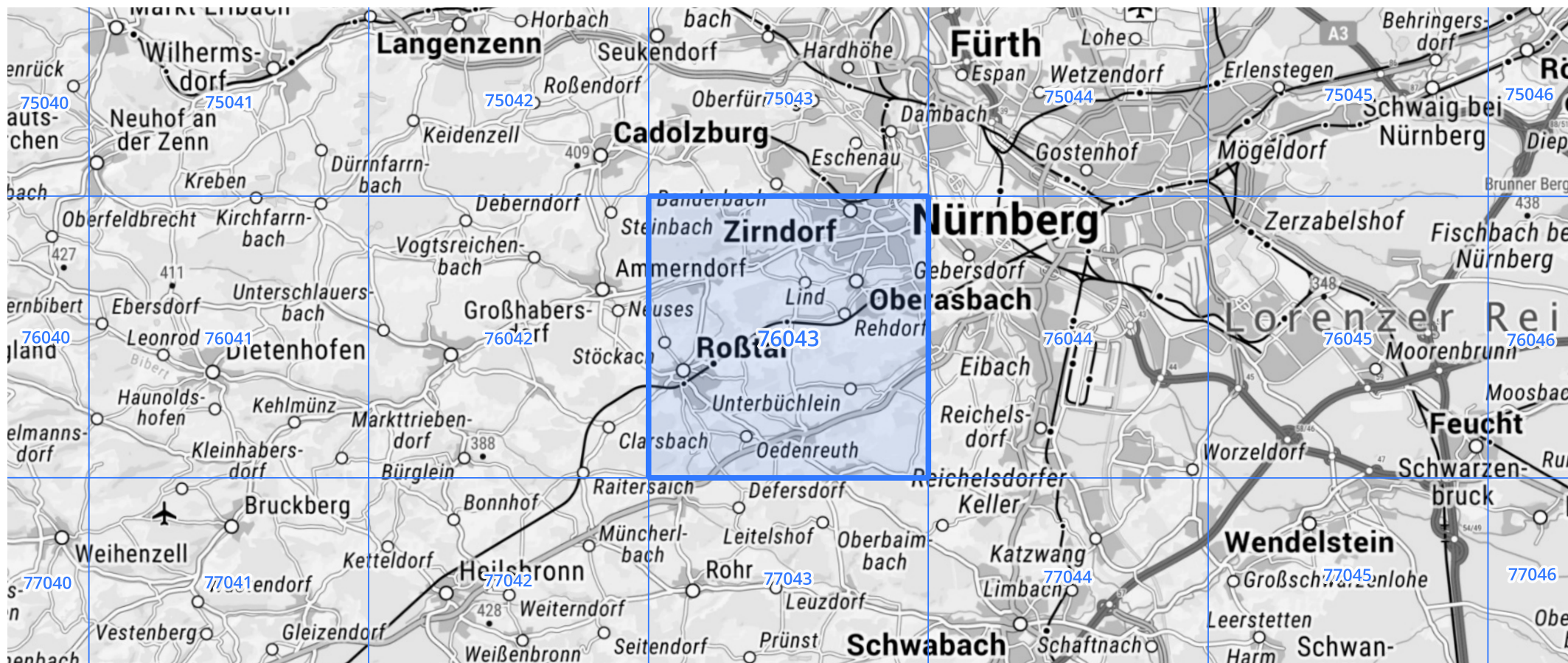
Auswertungszeitraum von 1951 - 2010, Januar - Dezember

Rasterfeld: 76043

Zeile: 76

Spalte: 43

Seite: 2/2



Quelle Rasterdaten: KOSTRA-DWD-2010R des Deutschen Wetterdienstes.

Kartendarstellung: © Bundesamt für Kartographie und Geodäsie (2022), Datenquellen: https://sgx.geodatenzentrum.de/web_public/gdz/datenquellen/Datenquellen_TopPlusOpen.html

Für die Richtigkeit und Aktualität der Angaben wird keine Gewähr übernommen. Erstellt 07/2022.